转移电子光阴极调制传递函数的理论计算:

The Theoretical Calculation for Modulation Transfer Function of Transferred-Electron Photocathode

李相民

侯 洵

(北京理工大学光电工程系,北京 100081)** (中国科学院西安光学精密机械研究所,西安 710068)***

【提要】 本文利用蒙特卡罗模拟的方法计算了 Ag/p-InP/p-InGaAsP/InP 转移电子光阴极的调制传递函数,计算结果表明转移电子光阴极具有较高的空间分辨率,并与阴极材料的吸收系数、有源层厚度及场助偏压有关,为获得较高的调制传递函数,应当尽量降低吸收系数和缩短有源层厚度,提高场助电压.

关键词:转移电子,光阴极,调制传递函数,蒙特卡罗模拟

Abstract: The modulation transfer function of Ag/p-InP/p-InGaAsP/InP transferred-electron photocathode has been calculated using Monte Carlo simulation. The results show that low absorption coefficient, short active layer thickness and high field-assisted bias are needed if high MTF is wanted.

Key words: Transferred-electron, Photocathode, MTF, Monte Carlo simulation

一、引言

传统的多碱阴极和负电子亲合势(NEA)光阴极的长波响应阈值被限制在 1.1 μ m^[1],因而限制了它的应用范围.而转移电子(Transferred-Electron,简称 TE)光阴极的近红外响应波长可扩展到2 μ m^[2],恰好覆盖夜天光辐射范围,因而在夜视领域里具有广泛的应用前景,并受到人们的普遍关注.1981年 J. Escher 等人在实验室首次实现转移电子光阴极成像,并用分辨力测试板测得其分辨力为20-22 线对/毫米^[3].

然而,用分辨力表征成像质量时,并不能全面客观地反映出影响成像质量各种因素所起的作用,它的确定与测试条件及观察者的主观因素都有关.正是由于存在这些问题,新的光学传递函数(Optical Transfer Function,简称 OTF)的评定方法应用于

光学成像系统逐渐发展和完善起来,OTF 理论现已成为评价像质最有效的工具.

尽管转移电子光阴极取得了很大发展,并实现成像,但至今没有发现对其成像能力进行详细理论计算方面的文献,因此,利用 OTF 理论对典型的Ag/p-InP/p-InGaAsP/InP 透射式转移电子光阴极进行理论分析是十分必要的.

二、OTF 理论的应用[4]

假定成像系统为线性系统,即输入和输出满足线性叠加原理,同时又具有平移不变性(在光学系统内又称为渐晕不变),令 $g_{\rm int}(r)$ 为系统的输入函数、 $g_{\rm out}(r)$ 为系统的输出函数、则 $g_{\rm int}(r)$ 和 $g_{\rm out}(r)$ 之间满足如下关系式

$$g_{\text{out}}(\mathbf{r}) = \int d\mathbf{r}' g_{\text{in}}(\mathbf{r}) h(\mathbf{r}, \mathbf{r}')$$
$$= g_{\text{in}}(\mathbf{r}) \cdot h(\mathbf{r})$$
(1)

^{* 1996}年1月收到,1995年()月修改定稿

^{**} Li Xiangmin (Dept. of Opto-electronics, Beijing Institute of Technology, Beijing 100081)

Hou Xun(Xi' an Institute of Optical Precision Mechanism, Academia Sinica, Xi' an 710068)

可见对于线性平移不变系统,输出与输人间的关系 就是输入 g_{in}(r)与 h(r)的卷积,也就是说,h(r)完全 表征了成像系统的行为,称之为系统的点扩散函数.

假定一线物体沿 Y 轴,h(r)是系统的点扩散函数,则有

$$L(x) = \int_{-\infty}^{+\infty} h(x, y) dy \tag{2}$$

称为系统的线扩散函数. 对于具有圆对称的成像系统,h(r)应具有如下形式。

$$h(r) = h(r) = h(x, y) \tag{3}$$

其中 $r = \sqrt{x^2 + y^2}$,这时线扩散函数与方向无关,方程(2)可写成

$$L(x) = \int_{-\infty}^{+\infty} h(r)dy \tag{4}$$

上式可簡化为

$$L(x) = 2 \int_{0}^{\infty} h(r)(r^{2} - x^{2})^{-1/2} r dr$$
 (5)

反之,从线扩散函数可以求出点扩散函数,定义 函数

$$q(x) = \int_{-\infty}^{+\infty} L(r) dy \tag{6}$$

这里 $r = \sqrt{x^2 + y^2}$,可以证明,其点扩散函数可表示为

$$h(r) = \frac{1}{2\pi r} \frac{dq(r)}{dr} \tag{7}$$

根据傅里叶变换的基本性质,对方程(1)作傅里 叶变换,则有

$$G_{\text{out}}(f) = H(f) \cdot G_{\text{in}}(f) \tag{8}$$

其中大写字母函数分别为小写字母函数的傅里叶变换,通常称 H(f)为系统的频率传递函数,它等于点扩散函数 h(r)的傅里叶变换,即

$$H(f) = \int dr h(r) \exp(-j2\pi f \cdot r)$$
 (9)

H(f)完全表征了系统的成像行为,称|H(f)|为调制传递函数,用 MTF 表示.

三、蒙特卡罗方法[5]

由于制作成像器件的转移电子光阴极应当是透射式的,其中最重要的一种结构就是 Ag/p-InP/p-InGaAsP/InP(衬底)双异质结光阴极,如图 1 所示,因此,本文计算该结构转移电子阴极的 MTF.

电子在向阴极发射表面运动的过程中,由于在垂直于 Z 轴的方向上产生的横向位移分布是各向同性的,这说明,阴极系统的点扩散函数是圆对称的,应具有方程(8)h(r)形式,实际上,h(r)给出了阴

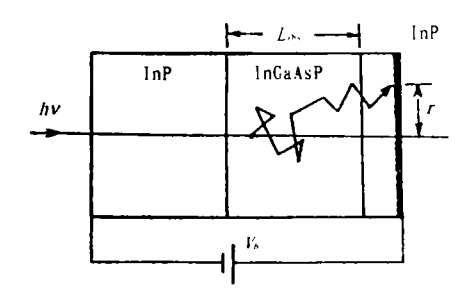


图 1 透射式转移电子光阴极结构示意图

极面上电荷密度表达式,式中分母 2πrdr 表示圆环的面积,dqr 是落在该面积内的电子数.可见,如果能追踪大量光电子在阴极面上的落点,便能统计出电子的落点分布,即求出点扩散函数 h(r).这里将采用蒙特卡罗模拟的方法给出 h(r),然后求出转移电子阴极的调制传递函数.下面简单介绍蒙特卡罗方法的基本思想.

以 Z 轴为圆心,把阴极面划分成许多等间距 Δr 的同心圆,假定光电子产生于 Z 轴上,利用蒙特卡罗模拟的方法追踪该光电子的运动轨迹,直到它到达阴极表面为止,记录该电子偏离 Z 轴的横向位移 $r=\sqrt{x^2+y^2}$,根据 r 判断该电子落在哪一个圆环内,统计大量电子轨迹落点,就可以获得点扩散函数 h(r) 的离散形式:

$$h(r_j) = \frac{q(r_j)}{2\pi r_i \Delta r} \tag{10}$$

其中 $q(r_i)$ 是第 i 个圆环内的电子数.

求出点扩散函数 $h(r_r)$ 之后,便可求解阴极 MTF. 根据公式(6)可知,由点扩散函数 h(r)可求出线扩散函数 L(x),把公式(5)积分方程变成求和形式,有

$$L(x_i) = \sum_{r_j > x_i}^{\infty} 2h(r_j) (r_j^2 - x_i^2)^{-1/2} \Delta r$$
 (11)

求得 $L(x_i)$ 之后,通过对公式(9)式进行离散和归一,便可求出阴极的调制传递函数 H(f)如下:

$$H(f) = \sum_{x_i=0}^{\infty} L(x_i) \cos(2\pi f x_i) \Delta x / \sum_{x_i=0}^{\infty} L(x_i)$$
 (12)

四、计算结果和讨论

对于由图 1 给出的转移电子光阴极,其 InP 电子发射层和 InGaAsP 光吸收层的 P 型掺杂浓度(掺Zn)分别为 $2.0\times10^{16}cm^{-3}$ 和 $5.0\times10^{15}cm^{-3}$. InP 发射层的厚度为 $0.5\mu m$. 吸收层的厚度(L_{abs})、场助偏压(V_A)和光学吸收系数(α)由表 1 给出.

表 1 转移电子光阴极参数

No.	$L_{ m abs}(\mu{ m m})$	$V_b(V)$	$\alpha(\text{cm}^{-1})$
Α	1.5	10	3.0×10^{3}
В	1.5	10	3.0×10 ⁴
C	3.0	10	3.0×10^{3}
D	3. 0	5	3. 0×10^3

图 2 给出对应表 1 中的四组参数计算出的阴极 MTF 曲线. 很显然,转移电子场助光阴极具有较高 的空间分辨率(和 NEA 光阴极的 MTF 特性相类 似),并随空间频率 f, 的增大而减小,这是由于光电 子在向阴极表面的运动过程中的横向扩散引起的, 从本质上讲,这种横向扩散是由电子遇到的各种散 射引起的,其中主要有声子散射、电离杂质散射和其 他散射机制.此外,转移电子阴极的结构参数也对 MTF 有影响,这些影响也可由电子的横向扩散来解 释. 由图 2 可以看出,当 $L_{abs} = 1.5 \mu m$, $V_b = 10 V$ 时, MTF 值很高,对于吸收系数 α 分别为 3×10^3 cm⁻¹和 3×10⁴cm⁻¹, f.<1000c/mm 时, MTF 大于 0.5. 此 外,曲线 A 和 B 的 MTF 值随着空间频率 f 的增加 下降很慢,这一结果表明当 Labs 较小时,转移电子阴 极的 MTF 较高. 比较曲线 $A \setminus B$ 可以看出,随着 α 的 增大,MTF 曲线下降很快,这是由于大部分光电子 产生在吸收层与衬底界面附近,因而需要走较长距 离才能到达阴极发射表面,结果加剧了电子的横向 扩散, 造成阴极分辨率下降.

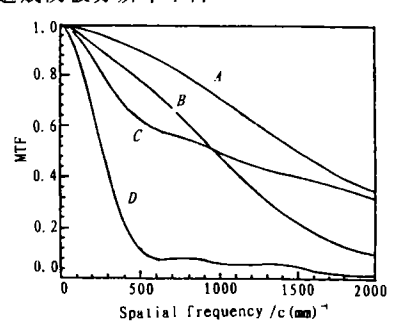


图 2 透射式转移电子光阴极 MTF 曲线

除了光学吸收系数 α 之外, 吸收层厚度 L_{abs} 和 场助偏压 V_b 也是影响阴极 MTF 的两个重要参数. 当 α 和 V_b 不变时, 比较曲线 A 和 C 可以发现, L_{abs} = $3.0 \mu m$ 的曲线 C 的下降速率要比 L_{abs} = $1.5 \mu m$ 的曲

线 A 快得多,当 f_* <500c/mm 时更是如此. 其原因 和增大 α 是一致的,因为 L_{abs} 越大,电子的传输距离 就越长.

曲线 C 和 D 也表明,当场助偏压从 5V 增大到 10V 时,阴极的 MTF 同样上升了许多.V。的强烈作用是由于处于电场中的电子除了具有扩散运动之外,还具有沿 Z 方向的漂移运动,因此大大缩短了在阴极内的渡越时间.随着 V。的增大,空间电荷区变宽,因此使更多的光电子受到电场力的作用.

五、结 论

本文采用 OTF 理论和蒙特卡罗模拟的方法计算了 Ag/p-InP/p-InGaAsP/InP(村底)透射式转移电子光阴极的 MTF. 结果表明光学吸收系数、有源层厚度和场助偏压对阴极的 MTF 都有很大影响,根据电子的传输机理可以很好的解释这些参数的作用. 如果要获得较高的 MTF 值,则应当尽量减小光学吸收系数和有源层厚度,提高阴极的场助偏压.

1 文 条 4

- 1 R. U. Martinelli and D. G. Fisher. Proceedings of the IEEE.1974.62(10):1339
- 2 J. S. Esher, R. L. Bell, P. E. Gregory, S. B. Hyder, T. J. Maloney, and G. A. Antypas. IEEE Transact. Electron Devices, 1980, ED-27:1244
- J. S. Esher, P. E. Gregory, S. B. Hyder, R. R. Saxena, and R. L. Bell. J. Electron Device Letters, 1981, ED-2: 123
- 4 王之江,伍树东.成像光学.科学出版社,1991,21
- 5 李相民,侯洵. 半导体学报,1996,17(5):328

李相民 1964 年生于辽宁北票,1989 年毕业于西安电子科技大学微电子研究所,并获得硕士学位. 1991 年~1994 年在中科院西安光学精密机械研究所攻读博士学位. 研究方向为光电器件. 现在北京理工大学光电工程系做博士后工作.

侯 洵 中科院西安光学精密机械研究所研究员,中科院院士.从事光阴极,真空光电器件,超短光脉冲诊断技术等方面的研究工作.